

# 葡萄卷叶伴随病毒 3 号抗血清的制备及应用

王克双 费菲 吕睦颐 李捷 程玉琴\*

(中国农业大学 农学与生物技术学院果树系/北京市果树逆境生理实验室,北京 100193)

**摘要** 为获得特异性抗血清用于批量检测葡萄苗木中的葡萄卷叶伴随病毒 3 号 (*Grapevine leafroll associated virus 3*, GLRaV-3), 本研究用含有 GLRaV-3 CP 蛋白基因的载体 pMD18-CP 为模板, PCR 扩增 CP 蛋白基因。将 PCR 产物定向克隆到原核表达载体 pET-28a (+) 上, 转化大肠杆菌 BL21( DE3), 筛选得到阳性克隆 pET-G3CP。用终浓度为 1 mmol/L 的 IPTG 进行诱导表达, SDS-PAGE 电泳分析显示, GLRaV-3 CP 在大肠杆菌中得到高效表达。纯化表达产物后免疫家兔制备抗血清。经分析, 抗血清效价为  $1/2^{14}$ , 试验结果显示, 此抗血清能用于葡萄植株样品中 GLRaV-3 不同分离物检测。

**关键词** 葡萄融合蛋白; ACP-ELISA; Western blot; 分离物

中图分类号 O 629.73

文章编号 1007-4333(2012)04-0081-05

文献标志码 A

## Preparation and application of antiserum against *Grapevine leafroll associated virus 3*

WANG Ke-shuang, FEI Fei, LÜ Mu-di, LI Jie, CHENG Yu-qin\*

(Department of Pomology/Laboratory of Stress Physiology and Molecular Biology for Tree Fruits,

Key Laboratory of Beijing Municipality/College of Agronomy and Biotechnology,

China Agricultural University, Beijing 100193, China)

**Abstract** The pMD18-CP containing CP gene of *Grapevine leafroll associated virus 3* (GLRaV-3) was used for PCR amplification in order to obtain a specific antiserum for reliable GLRaV-3 diagnosis in routine tests. The PCR products of GLRaV-3 CP gene were cloned into the expression vector pET-28a. The resulted recombinant plasmid pET-G3CP was transformed into *E. coli* BL21 (DE3). SDS-PAGE analysis showed that the recombinant GLRaV-3 CP was expressed as a 40 ku inclusion body protein at high level induced by IPTG at final concentration of 1 mmol/L. Antiserum was prepared after the rabbit was immunized with the purified recombinant CP. The antiserum titer was determined to be  $1/2^{14}$ , and the antiserum was specific and sensitive for different GLRaV-3 isolates detection.

**Key words** grape; recombinant protein; ACP-ELISA; Western blot; isolate

葡萄卷叶病 (*Grapevine leafroll disease*, GLD) 是葡萄上发生最为普遍、危害最为严重的病毒病害之一, 严重影响葡萄生产和葡萄酒产业。据报道, 葡萄卷叶伴随病毒 1 号 (*Grapevine leafroll-associated virus 1*, GLRaV-1)、2 号 (GLRaV-2) 和 3 号 (GLRaV-3) 是与该病相关的 3 种最重要病原

物<sup>[1]</sup>。GLRaV-3 为长线形病毒科 (Closteroviridae) 卷叶病毒属 (*Ampelovirus*) 的典型成员, 其基因组为正单链 RNA, 编码 12 个可读框 (open reading frame, ORF), 其中 ORF6 (13913~14854 nt) 编码产物为外壳蛋白, 大小约为 35 ku<sup>[2]</sup>。基于 CP 基因构建的遗传进化树表明, GLRaV-3 分离物可分成 4~5

收稿日期: 2012-04-28

基金项目: 现代农业产业技术体系建设专项 (CARS-30-bc-1)

第一作者: 王克双, 硕士研究生, E-mail: keshuangwang@sina.com

通讯作者: 程玉琴, 博士, 副教授, 主要从事植物病毒分子生物学及病毒与寄主的分子互作研究, E-mail: chengyuqin@cau.edu.cn

进化支<sup>[3-4]</sup>。

血清学作为检测植物病毒的常规方法,以其快速、操作简便、成本低和适合批量样品检测等优点而被广泛应用于葡萄病毒检测中。虽然有商业抗体出售,但其价格昂贵。目前国内外已有利用原核表达CP蛋白制备GLRaV-3抗血清的报道<sup>[5-6]</sup>,但对GLRaV-3不同分离物的检测效果介绍较少。而且本研究用原核表达的GLRaV-3-LN的CP基因与已报道用以制备抗血清的CP基因序列同源性均较低;与国内一个分离物Dawanhong(A F037268)的CP基因<sup>[6]</sup>核苷酸同源性为91.7%,与来自智利的一个分离物Cl-766(EU344893)的CP基因<sup>[5]</sup>核苷酸同源性为91.4%。从以CP基因构建的进化树分析可知,分离物Dawanhong和Cl-766分在第1组中,而LN分离物分在第3组<sup>[4]</sup>。

本研究通过构建GLRaV-3-LN CP基因的原核表达载体,并以在大肠杆菌中表达的重组蛋白为抗原制备抗血清,旨在将其应用于GLRaV-3不同分离物的检测。

## 1 材料与方法

### 1.1 材料

含有GLRaV-3辽宁分离物(GLRaV-3-LN)CP蛋白基因的pMD18-CP载体<sup>[7]</sup>和本研究所用的感染GLRaV-3的葡萄植株样品由本实验室保存。原核表达载体pET-28a(+)、大肠杆菌表达菌株BL21(DE3)、Taq酶和限制性内切酶购自大连宝生物公司。DNA回收试剂为AXYGEN公司产品,IPTG购自Sigma公司。

### 1.2 方法

#### 1.2.1 原核表达载体构建

构建GLRaV-3 CP原核表达载体pET-G3CP的上下游引物分别为:5'-GCGGAATTC-ATGGCATTGAACTGAAATTAGGGC-3'(下划线部分为EcoR I酶切位点)、5'-GGGGTCGAC-GGCTTCTTGCAATAGTTGAAAGA-3'(下划线部分为Sal I酶切位点)。以含有GLRaV-3-LN CP蛋白基因的pMD18-CP载体为模板,PCR扩增得到GLRaV-3 CP蛋白基因全长的cDNA片段。PCR产物经纯化回收后定向克隆到pET-28a(+)上,连接产物转化大肠杆菌DH5 $\alpha$ 感受态细胞,提取质粒,经PCR扩增鉴定为阳性的重组质粒,送北京三博远志生物技术有限责任公司测序,将测序正确

的克隆命名为pET-G3-CP。

#### 1.2.2 GLRaV-3 CP蛋白的诱导表达、SDS-PAGE分析及纯化

将pET-G3CP转化大肠杆菌BL21,挑取单菌落于3 mL LB液体培养基摇培约12 h,将菌液按1:100稀释到新鲜的LB液体培养基中,摇培至OD<sub>600</sub>为0.4~0.6,加IPTG至终浓度1 mmol/L,37℃继续诱导4 h。取表达产物进行SDS-PAGE电泳,显色后切下目标条带,加等体积的0.9%生理盐水冰浴研磨,4℃放置过夜,离心收集上清。

#### 1.2.3 抗血清制备

在纯化产物中加入等体积的弗氏不完全佐剂,乳化后免疫家兔。共进行4次皮下注射,免疫计量每次约为0.7 mg。最后一次加强免疫后的7~10 d从静脉采血。在制备的抗血清中加入0.02%的叠氮化钠,-40℃保存。

#### 1.2.4 Western blot检测抗血清特异性

以纯化的重组蛋白GLRaV-3 CP(稀释50倍)为检测样品,空载体pET-28a诱导菌液总蛋白为阴性对照。抗血清稀释2 000倍,通过氮蓝四唑(NBT)/5-溴-4-氯-3-吲哚磷酸(BCIP)显色进行结果判定。

#### 1.2.5 抗血清效价测定和应用分析

用抗原包被酶联板ELISA(ACP-ELISA)法<sup>[8]</sup>分析抗血清效价和其实际应用效果。显色后在酶标仪405 nm条件下读数,记录结果。

效价分析时,抗血清按1/2<sup>6</sup>,1/2<sup>7</sup>,...,1/2<sup>15</sup>进行梯度稀释,正常血清也按此梯度进行稀释,以纯化的原核表达蛋白(用抗原包被缓冲液作1/10<sup>3</sup>稀释)为抗原。计算I/H值,即(样品的平均吸光值-空白对照的平均吸光值)/(健康对照的平均吸光值-空白对照平均吸光值)。I/H≥3,为阳性;I/H<3为阴性:

以已知感染GLRaV-3不同分离物的葡萄植株样品韧皮部组织(各0.2 g)为检测样品,以纯化的原核表达蛋白(用抗原包被缓冲液作1/10<sup>3</sup>稀释)为阳性对照,脱毒葡萄组培苗为阴性对照,进行ACP-ELISA进行抗血清实际应用效果分析。抗血清按500倍稀释。

## 2 结果与分析

### 2.1 原核表达载体构建

以本实验室保存的pMD18-CP为模板进行GLRaV-3 CP蛋白基因的PCR扩增。将PCR产物

用 *Eco*R I 和 *Sal* I 双酶切后定向克隆到载体 pET-28a(+)，转化大肠杆菌 DH5 $\alpha$  感受态细胞，提取质粒。将重组质粒 pET-G3CP 进行酶切验证，得到一条 942 bp 左右的目的条带(图 1)。说明 CP 蛋白基因已连接到 pET-28a(+)载体上。随后的测序结果表明阅读框正确。

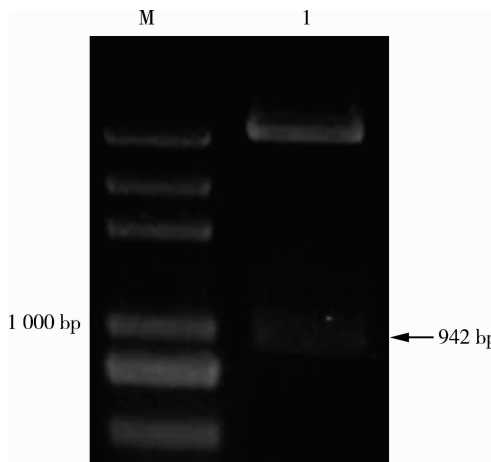
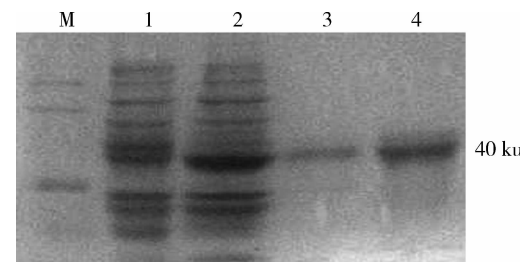


图 1 酶切验证 GLEaV-3 CP 原核表达载体 pET-G3CP  
Fig. 1 Restriction analysis of expression vector pET-G3CP

## 2.2 原核表达产物的 SDS-PAGE 分析、纯化及定量

将原核表达载体 pET-G3CP 转入大肠杆菌菌株 BL21，用终浓度为 1 mM 的 IPTG 进行诱导表达。由于载体自身带有组氨酸标签，且这些碱性氨基酸可使融合蛋白在 SDS-PAGE 电泳中迁移变

慢<sup>[9]</sup>，从而导致融合蛋白分子量出现偏差而大于 CP 蛋白本身的分子质量(约 35 ku)。因此电泳显示在大小约 40 ku 附近出现 1 条特异性蛋白条带(图 2)。这个分子量与我们预期大小一致，说明外源蛋白在大肠杆菌中得到了正确表达。切胶纯化回收蛋白后，用分光光度计测定纯化蛋白在 260 和 280 nm 处的吸光值(OD)，并计算蛋白浓度。结果表明， $\lambda_{260}/\lambda_{280}$  的比值为 1.14，纯化后的蛋白浓度为 0.65 mg/mL。



M 为蛋白分子量标准。1 为 pET-G3CP 未经 IPTG 诱导后产物；  
2 为 pET-G3CP 经 IPTG 诱导后产物；3~4 为纯化蛋白。

## 图 2 GLEaV-3 CP 表达产物及纯化蛋白的 SDS-PAGE 分析

Fig. 2 Analysis of recombinant plasmid pET-G3 CP by restriction with *Eco*R I and *Sal* I

## 2.3 抗血清的制备及其效价测定

将回收纯化后的蛋白免疫家兔获得 GLRaV-3 CP 抗血清，然后以纯化的原核表达蛋白为抗原进行 ACP-ELISA 分析抗血清效价。结果表明：制备的抗血清在稀释 1/2<sup>14</sup> 时，I/H 的比值为 3.7，仍呈阳性反应(表 1)。

表 1 GLRaV-3 CP 抗血清效价测定

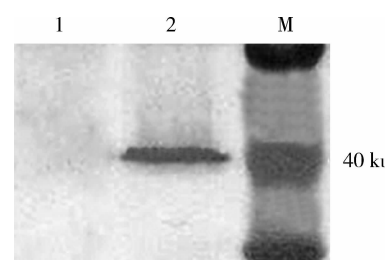
项目	抗血清稀释倍数											正常血清	阴性对照
	1/2 <sup>6</sup>	1/2 <sup>7</sup>	1/2 <sup>8</sup>	1/2 <sup>9</sup>	1/2 <sup>10</sup>	1/2 <sup>11</sup>	1/2 <sup>12</sup>	1/2 <sup>13</sup>	1/2 <sup>14</sup>	1/2 <sup>15</sup>			
抗原	1.207	1.145	0.964	0.763	0.640	0.471	0.323	0.243	0.212	0.167	0.110	0.073	
I/H 值	30.4	28.7	23.8	18.5	15.2	10.7	6.7	4.6	3.7	—			

## 2.4 抗血清特异性分析

Western blot 检测抗血清特异性，结果显示，表达的重组蛋白能特异地与制备的抗血清发生反应而形成杂交带，而阴性对照则无条带(图 3)。条带位置也在在 40 ku 左右，大于 CP 蛋白本身的分子质量，原因也是由于载体的组氨酸标签所致。

## 2.5 抗血清的应用效果分析

在前期工作中，构建了基于 CP 基因的遗传进化树，发现 GLRaV-3 中国分离物分属于 4 个进化支(结果正在整理发表)。选取已知分别感染了



M 为蛋白分子量标准；1 为空载体 pET-28a 诱导菌液总蛋白；  
2 为 pET-G3CP 纯化产物。

## 图 3 GLRaV-3 CP 抗血清 Western blot 分析

Fig. 3 Western blot analysis of GLRaV-3 CP antiserum

GLRaV-3 不同分离物的 20 个葡萄植株样品,其中包括感染 GLRaV-3-LN 的葡萄品种“金星无核”。以这些分离物的 CP 基因全序列构建的遗传进化树(将 Dawanhong 和 CL-766 分离物 CP 基因及在其他文献<sup>[3-4]</sup>中共用的一些分离物 CP 基因作为参考序列)(图 4)可以看到,这 20 个分离物可分成 4 组(图 4)。根据文献<sup>[4]</sup>对 GLRaV-3 分离物分组的定义,3~15 号样品中的 GLRaV-3 分离物与 Dawanhong、CL-766 分在第 1 组,16~18 号样品的分离物与葡萄牙分离物 Touriga Nacional-2 (HQ401019) 和南非分离物 GP18 (EU259806) 分在第 2 组,19~20 号样品的分离物与南非分离物 PL-20 (GQ352633) 分在第 3 组,21、22 号样品分离物与葡萄牙分离物 Terrantez da Terceira (HQ401015) 分在第 4 组。

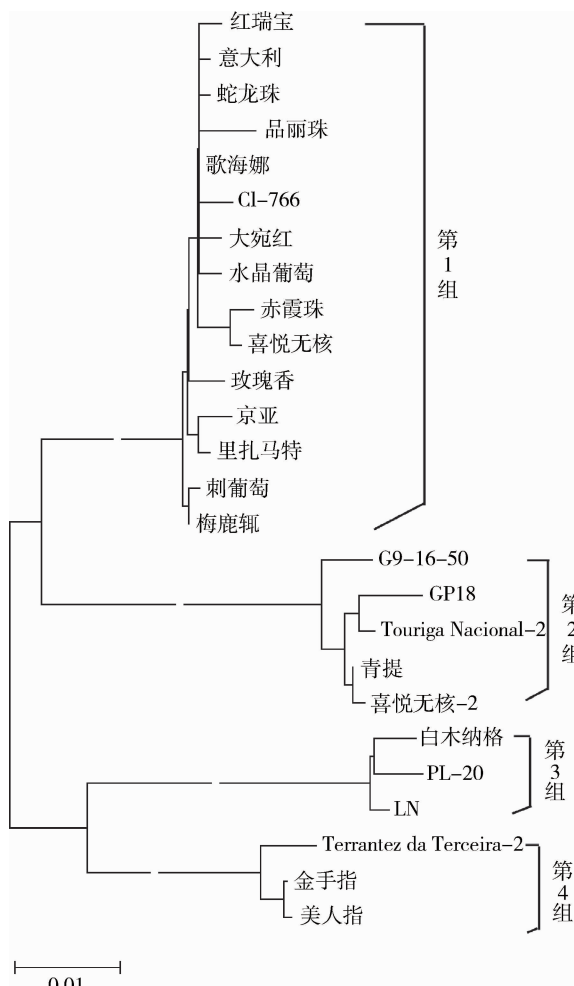


图 4 20 个 GLRaV-3 分离物 CP 基因的遗传分析

Fig. 4 Phylogenetic analysis of GLRaV-3 CP nucleotide sequences from 20 different isolates

为了分析制备的抗血清是否适用于检测不同的 GLRaV-3 分离物,我们对这 20 个葡萄样品进行 ACP-ELISA 检测,结果表明,这 20 份样品均呈阳性反应,与我们原来的分子检测(RT-PCR)结果一致,而阴性对照则不呈阳性反应。表明该抗血清能应用于田间样品的 GLRaV-3 不同分离物的检测(表 2)。

表 2 ACP-FLISA 检测 GLRaV-3 不同分离物

样品号	样品名	OD <sub>405</sub>
1	脱毒组培苗	0.144
2	纯化的重组蛋白	1.758
3	里扎马特	0.541
4	品丽珠	0.460
5	梅鹿辄	0.639
6	歌海娜	0.639
7	京亚	0.456
8	赤霞珠	0.336
9	红瑞宝	0.558
10	意大利	0.458
11	刺葡萄	0.666
12	水晶葡萄	0.387
13	喜乐无核	0.416
14	玫瑰香	0.492
15	蛇龙珠	0.372
16	喜乐无核 2	0.540
17	青提	0.544
18	G9-16-50	0.540
19	白木纳格	0.428
20	金星无核(LN)	0.609
21	美人指	0.404
22	金手指	0.522

注:3~15、16~18、19~20、21~22 号样品中的 GLRaV-3 分离物分别属于第 1、2、3 和 4 进化支。

### 3 讨论

GLRaVs 可通过同翅目昆虫粉蚧(mealybug)和介壳虫(soft scale)传播<sup>[10-11]</sup>,最近有报导 GLRaV-7 还可通过菟丝子(*Cuscuta campestris*)传播<sup>[11]</sup>,但这些传播方式可能对 GLD 的流行影响不

大。GLRaVs 主要通过带毒苗木、无性繁殖材料的调运和与带毒砧木嫁接进行传播。在我国,由于缺乏有效监控的葡萄苗木调运和交换,导致 GLD 发生十分普遍。目前无有效药剂防治植物病毒病,采用无病毒苗木是控制葡萄病毒传播的有效措施。而这项措施的实现,需要制备大量高效、特异性抗血清用于日常批量苗木的病毒检测。

不同的 GLRaV-3 分离物其 CP 基因序列存在着较大差异<sup>[3-4]</sup>,这可能会导致抗血清在实际使用时灵敏度降低而呈假阴性。ACP-ELSIA 检测结果显示,本研究制备的抗血清对分属于 4 个不同进化支的 GLRaV-3 不同分离物均呈阳性反应,表明该抗血清可大量应用于葡萄生产中,尤其是在葡萄苗木进出口检疫、种苗调运检疫,以及脱毒苗生产,以达到控制病毒传播危害的目的。

## 参 考 文 献

- [1] Martin R R, Eastwell K C, Wagner A, et al. Survey for viruses of Grapevine in Oregon and Washington[J]. Plant Disease, 2005, 89: 763-766
- [2] Ling K S, Zhu H Y, Gonsalves D. Complete nucleotide sequence and genome organization of *Grapevine leafroll-associated virus 3*, type member of the genus *Ampelovirus*[J]. J Gen Virol, 2004, 85: 2099-2102
- [3] Gouveia P, Santos M T, Eiras-Dias J E, et al. Five phylogenetic groups identified in the coat protein gene of grapevine leafroll-associated virus 3 obtained from Portuguese grapevine varieties [J]. Arch Virol, 2010, 156: 413-420
- [4] Jooste A E, Maree H J, Bellstedt D U, et al. Three genetic grapevine leafroll-associated virus 3 variants identified from South African vineyards show high variability in their 5'UTR [J]. Arch Virol, 2010, 155: 1997-2006
- [5] Engel E A, Girardi C, Escobar P F, et al. Genome analysis and detection of a Chilean isolate of *Grapevine leafroll associated virus-3*. Virus Genes, 2008, 37: 110-118
- [6] 徐章逸,王国平,刘亚萍,等.葡萄卷叶伴随病毒 23 外壳蛋白的原核表达及其特异性抗血清的制备.植物病理学报,2010, 40(2): 129-134
- [7] 王萌,费菲,周涛,等.葡萄卷叶伴随病毒 2 号和 3 号辽宁分离物部分基因组的序列分析.植物病理学报,2009, 39(5): 449-457
- [8] 田波,裴美云.植物病毒研究方法(上).北京:科学出版社,1987
- [9] 唐威华,张景六,王宗阳,等. SDS-PAGE 法测定 His-tag 融合蛋白分子量产生偏差的原因.植物生理学报,2000, 26(1): 64-68
- [10] Cabaleiro C, Segura A. Field transmission of *Grapevine leafroll associated virus 3* (GLRaV-3) by the mealybug *Planococcus citri*. Plant Disease, 1997, 81: 283-287
- [11] Cid M, Pereira S, Cabaleiro C, et al. Presence of *Grapevine leafroll-associated virus 3* in primary salivary glands of the mealybug vector *Planococcus citri* suggests a circulative transmission mechanism. European Journal of Plant Pathology, 2007, 118: 23-30
- [12] Mikona C and Jelkmann W. Replication of Grapevine leafroll-associated virus-7 (GLRaV-7) by *Cuscuta* Species and its transmission to herbaceous plants. Plant Disease, 2010, 94: 471-476

责任编辑: 王燕华